

# Фазовая задержка поляризационных мод в упруго закрученных spin-волокнах

**С.К.Моршинев, Ю.К.Чаморовский, И.Л.Воробьев**

Теоретически и экспериментально исследована эволюция фазовой задержки одной из ортогональных мод с линейной поляризацией относительно другой моды в spin-волокне при упругом кручении его вокруг оси. Использовалась модель спиральной структуры осей линейного двулучепреломления, встроенного в волокно. Зависимость фазовой задержки от угла упругого кручения имеет синусоидальный характер, причем амплитуда и период синусоиды зависят от параметров волоконного световода – шага спиральной структуры и длины биений встроенного линейного двулучепреломления. Показано, что при известном шаге спиральной структуры из указанной зависимости фазовой задержки длина биений встроенного линейного двулучепреломления может быть определена в диапазоне 100–0,01 мм. Результаты экспериментов с обычными и микроструктурированными spin-волокнами подтверждают развитую теорию.

**Ключевые слова:** волоконный световод, spin-волокно, спиральная структура осей линейного двулучепреломления, фазовая задержка.

## 1. Введение

Волоконные световоды (ВС), получаемые вытяжкой из вращающейся заготовки со встроенным линейным двулучепреломлением (ДЛП), так называемые spin-волокна, известны с 1989 года [1] и находят применение, например, в датчиках магнитного поля и электрического тока [2–4]. Недавно было показано, что в spin-волокнах отсутствует встроенное циркулярное ДЛП, а свойства этих волокон определяет спиральная структура осей линейного ДЛП [4–7], образующаяся в процессе вытяжки.

Целью настоящей работы является дальнейшее изучение свойств spin-волокон, в частности при упругом кручении волокна вокруг его оси. Как известно [8], в условиях упругого кручения не только меняется шаг спиральной структуры линейного ДЛП, но и возникает циркулярное ДЛП.

Изучение зависимости фазовой задержки  $R$  одной из поляризационных мод относительно другой от угла упругого кручения spin-волокна может дать новую информацию о параметрах этого волокна, в частности о длине биений встроенного линейного ДЛП.

## 2. Теория

Свойства прямолинейного волокна со спиральной структурой осей встроенного линейного ДЛП описываются согласно работе [4] в базисе линейных поляризаций матрицей Джонса  $T$  [9]:

**С.К.Моршинев, Ю.К.Чаморовский, И.Л.Воробьев.** Фрязинский филиал Института радиотехники и электроники им. В.А.Котельникова РАН, Россия, Московская обл., 141190 Фрязино, пл. Введенского, 1; e-mail: m137@fryazino.net, yuchamor@online.ru

Поступила в редакцию 3 февраля 2011 г.

$$T \equiv \begin{vmatrix} T_{11} & T_{12} \\ T_{21} & T_{22} \end{vmatrix} = \frac{1}{\Omega} \begin{vmatrix} a_{11} + ib_{11} & a_{12} + ib_{12} \\ -a_{12} + ib_{12} & a_{11} - ib_{11} \end{vmatrix}, \quad (1)$$

где

$$\begin{aligned} a_{11} &= \Omega \cos \xi z \cos \Omega z + \left( \xi + \frac{\gamma}{2} \right) \sin \xi z \sin \Omega z; \\ a_{12} &= -\Omega \sin \xi z \cos \Omega z + \left( \xi + \frac{\gamma}{2} \right) \cos \xi z \sin \Omega z; \\ b_{11} &= \frac{\Delta\beta}{2} \cos \xi z \sin \Omega z; \\ b_{12} &= \frac{\Delta\beta}{2} \sin \xi z \sin \Omega z; \end{aligned} \quad (2)$$

$\Delta\beta = 2\pi/L_b$  – скорость нарастания с увеличением длины  $z$  волокна фазовой задержки между волнами с ортогональными линейными поляризациями из-за встроенного линейного ДЛП с длиной биений  $L_b$ ;  $\gamma = 2\pi/L_c$  – скорость нарастания фазовой задержки между волнами с ортогональными циркулярными поляризациями из-за циркулярного ДЛП с длиной биений  $L_c$ ;  $\xi = 2\pi/L_{tw}$  – угловая скорость вращения спиральной структуры осей встроенного линейного ДЛП с шагом спирали  $L_{tw}$ ;

$$\Omega = \sqrt{\left( \frac{\Delta\beta}{2} \right)^2 + \left( \xi + \frac{\gamma}{2} \right)^2} \quad (3)$$

– пространственная частота.

При упругом кручении закручивание прямолинейного волокна длиной  $z$  на угол  $\varphi$  в ту же сторону, в которую закручена спиральная структура осей ДЛП, приводит к увеличению угловой скорости  $\xi$ :

$$\xi = \frac{2\pi}{L_{tw}} + \frac{\varphi}{z} \equiv \xi_0 + \frac{\varphi}{z}. \quad (4)$$

При закручивании в противоположную сторону ( $\varphi < 0$ ) величина  $\xi$  уменьшается. Кроме того, согласно работе [8] в волокне возникает циркулярное ДЛП:

$$\gamma = \frac{\varphi}{\mu z}, \quad (5)$$

где для кварцевых волокон параметр  $\mu = 6.85$ . Физически это означает, что в волокне длиной  $z$  можно получить циркулярное ДЛП с длиной биений  $L_c = z$ , если сделать на длине волокна  $L_c$  около семи оборотов вокруг оси.

Известно [9], что фазовая задержка  $R$  между волнами с ортогональными линейными поляризациями приводит к возникновению результирующего эллиптического состояния поля с углом эллиптичности  $\varepsilon$  ( $R = 2\varepsilon$ ). Эллиптичность, т. е. отношение длин малой ( $b$ ) и большой ( $a$ ) полуосей эллипса поляризационного состояния, связана с углом эллиптичности следующим соотношением:  $\tan \varepsilon = \pm b/a$ . В световоде с линейным двулучепреломлением (без кручения) фазовая задержка между волнами с ортогональными линейными поляризациями нарастает пропорционально длине волокна. В spin-волокнах фазовая задержка вдоль длины волокна колеблется между максимальным и минимальным значениями [10].

Рассмотрим эволюцию поляризационных состояний на комплексной плоскости [9], координаты точек  $\chi$  на которой определяются отношением ортогональных компонент поля  $E_y$  и  $E_x$ :

$$\chi = u + iv = \frac{E_y}{E_x}. \quad (6)$$

Комплексная плоскость представляет собой географическую проекцию сферы Пуанкаре, где в точку  $\{u, v\} = \{0, +i\}$  проецируется северный полюс сферы Пуанкаре (правая циркулярная поляризация), а в точку  $\{0, -i\}$  – южный полюс (левая циркулярная поляризация). На действительную ось проецируется экватор сферы Пуанкаре, т. е. все возможные линейные поляризации, например  $E||x$  проецируется в точку  $\{0, 0\}$ , а  $E||y$  – в точку  $\{\infty, \infty\}$ . Широта места соответствует фазовой задержке, а длина – удвоенному азимуту эллиптического состояния [9]. В обозначениях (2) имеем

$$\chi = \frac{(-a_{12}E_{x0} + a_{11}E_{y0}) + i(b_{12}E_{x0} - b_{11}E_{y0})}{(a_{11}E_{x0} + a_{12}E_{y0}) + i(b_{11}E_{x0} + b_{12}E_{y0})}. \quad (7)$$

На входе в ВС будем использовать линейно поляризованные состояния, различающиеся только азимутом  $\alpha$ :

$$E_{x0} = E_0 \cos \alpha, \quad E_{y0} = E_0 \sin \alpha. \quad (8)$$

Подставляя в формулу (7) выражения (2) и (8), получаем зависимости  $\chi$  от длины ВС. Некоторые из этих зависимостей, различающиеся азимутом линейной поляризации излучения на входе в ВС и линейным двулучепреломлением  $\Delta\beta$ , приведены соответственно на рис.1 и 2.

Из рис.1,а видно, что при возбуждении светом с поляризацией  $E||x$  ( $\alpha = 0$ ) достигается наибольшее отклонение поляризационных состояний от экватора сферы Пуанкаре, т. е. максимальная фазовая задержка, которая приблизительно равна амплитуде от пика до пика в близких к синусоидальным колебаниям фазовой задержки на рис.1,б. Следует обратить внимание на то, что возрастание амплитуды колебаний на левом и правом краях

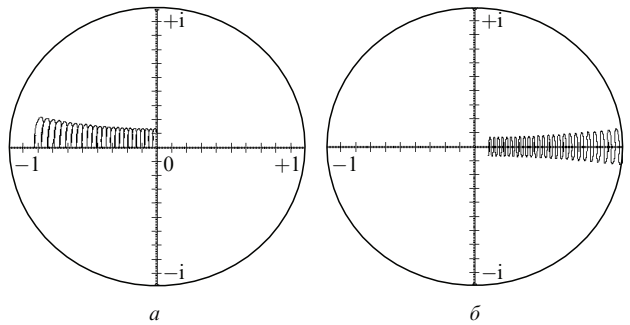


Рис.1. Эволюция (справа налево) поляризационных состояний по длине spin-волокна на комплексной плоскости при  $L_b = 15$  мм,  $L_{tw} = 4$  мм,  $z = 50$  мм, азимуте линейной поляризации излучения на входе в spin-волокно  $\alpha = 0$  (а) и  $45^\circ$  (б).

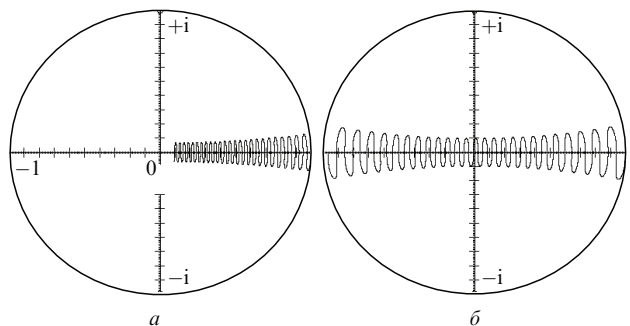


Рис.2. Эволюция (справа налево) поляризационных состояний по длине spin-волокна на комплексной плоскости при  $L_{tw} = 4$  мм,  $z = 50$  мм,  $\alpha = 45^\circ$ ,  $L_b = 15$  (а) и  $10$  мм (б).

рис.1,а и б соответственно есть не что иное, как искажение, связанное с проекцией сферы на плоскость.

Из рис.1 и 2 видно, что спиральная структура осей линейного ДЛП обеспечивает поворот плоскости поляризации излучения – эволюцию поляризационных состояний справа налево вдоль экватора сферы Пуанкаре, хотя встроенное в волокно циркулярное ДЛП отсутствует (более подробно см. в [7]). Из сравнения рис.2,а и б видно, что возрастание встроенного линейного ДЛП (уменьшение  $L_b$ ) сопровождается увеличением не только максимальной фазовой задержки, но и азимутальной скорости вращения плоскости поляризации. Таким образом, за вращение плоскости поляризации отвечает встроенное линейное ДЛП со спиральной структурой осей. Фазовая задержка является периодической функцией длины  $z$  волокна с пространственным периодом  $L_{tw}/2$ , равным в нашем случае  $\sim 2$  мм. Это создает дополнительные трудности при ее измерении, т. к. в пределах  $\sim 1$  мм по длине волокна фазовая задержка  $R$  может изменяться от максимальной до минимальной величины.

Точное значение  $R$  на выходе из ВС длиной  $z$  определяется выражением [9]

$$\sin R = \frac{2\text{Im}\chi}{1 + \chi^2}. \quad (9)$$

Используя соотношение (7), для spin-волокна получаем

$$\begin{aligned} \sin R = 2 & \frac{(E_{x0}^2 - E_{y0}^2)(a_{11}b_{12} + a_{12}b_{11})}{\Omega^2 E_0^2} \\ & + 2 \frac{2E_{x0}E_{y0}(a_{12}b_{12} - a_{11}b_{11})}{\Omega^2 E_0^2}. \end{aligned} \quad (10)$$

После подстановки в (10) выражений (2), (8) и тригонометрических преобразований имеем

$$\sin R = \frac{\Delta\beta}{2} \frac{(\xi + \gamma/2)(1 - \cos 2\Omega z) \cos 2\alpha - \Omega \sin 2\Omega z \sin 2\alpha}{\Omega^2}. \quad (11)$$

Из (11) видно, что фазовая задержка возникает из-за встроенного линейного ДЛП (множитель  $\Delta\beta/2$ ) и является периодической функцией длины  $z$  волокна. При фиксированной длине  $z$  можно получить периодические изменения фазовой задержки от минимальной до максимальной величины, изменяя пространственную частоту  $\Omega$  с помощью упругого кручения волокна вокруг его оси. Действительно, упругое кручение с увеличением угла  $|\varphi|$ , согласно выражениям (4) и (5), вызывает монотонное изменение шага спирали и величины слабого циркулярного ДЛП, что влечет за собой изменение пространственной частоты  $\Omega$  (см. формулу (3)). Коэффициенты при гармонических функциях в формуле (11) в процессе кручения изменяются незначительно.

На рис.3 приведены зависимости фазовой задержки  $R$  от угла упругого кручения  $\varphi$  для типичного spun-волокна с длиной биений  $L_b = 15$  мм и шагом спиральной структуры  $L_{tw} = 4$  мм, вычисленные по формуле (11). Из рис.3, а видно, что в процессе упругого кручения фазовая задержка периодически изменяется от 0 до  $\sim 15^\circ$ , если свет на входе в ВС поляризован параллельно оси  $x$  волокна ( $\alpha = 0$ ). Период колебаний равен  $\sim 180^\circ$  по углу кручения. Аналогично, если свет поляризован под углом  $45^\circ$  к осям линейного ДЛП на входе в волокно ( $\alpha = 45^\circ$ ), то фазовая задержка периодически изменяется примерно от  $-7.5^\circ$  до  $+7.5^\circ$  (размах колебаний – те же  $15^\circ$ ) с таким же периодом колебаний.

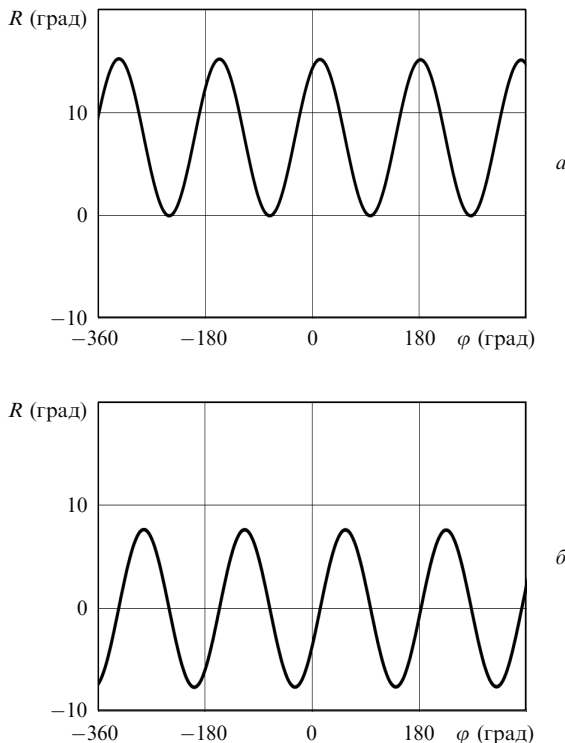


Рис.3. Зависимости фазовой задержки  $R$  от угла упругого кручения  $\varphi$  spun-волокна длиной 1 м со встроенным линейным ДЛП при  $L_b = 15$  мм,  $L_{tw} = 4$  мм,  $\alpha = 0$  (а) и  $45^\circ$  (б).

Отметим, что на рис.3 слабое циркулярное ДЛП, возникающее при кручении, ничем не проявляет себя. Это связано с большой длиной исследуемого spun-волокна  $z = 1$  м, при которой длина биений циркулярного ДЛП  $L_c = 1$  м  $\gg L_b$  реализуется при закручивании на семь оборотов. Если выбрать для кручения отрезок spun-волокна длиной  $z = 10$  см, то амплитуда колебаний фазовой задержки заметно уменьшится при закручивании на семь оборотов (приблизительно на 20%). Циркулярное ДЛП в этом случае все еще слабое и длина его биений  $L_c = 10$  см все еще превышает длину биений линейного ДЛП  $L_b = 15$  мм.

Рассмотрим выражение (11). Пусть на входе в ВС свет линейно поляризован вдоль оси  $x$  ( $\alpha = 0$ ). Тогда  $\sin 2\alpha = 0$  и при упругом кручении spun-волокна функция  $\sin R$  изменяется от нуля до максимального значения (см. формулу (11)):

$$\sin R_{\max} = 2 \frac{\Delta\beta(\xi + \gamma/2)}{2\Omega^2} \approx \frac{4\xi_0\Delta\beta}{\Delta\beta^2 + 4\xi_0^2}, \quad (12)$$

где  $\xi_0$  – угловая скорость вращения в отсутствие упругого кручения (см. формулу (4)). Из выражения (12) видно, что максимальная фазовая задержка  $R_{\max}$  может достигнуть  $\pi/2$  только при условии  $\Delta\beta = 2\xi_0$ , т. е. при длине биений линейного встроенного ДЛП, равной половине шага спирали:  $L_b = L_{tw}/2$ . Однако при дальнейшем увеличении встроенного линейного ДЛП фазовая задержка начнет убывать. Эта зависимость приведена на рис.4.

Таким образом, получив экспериментально зависимость фазовой задержки от угла упругого кручения  $R(\varphi)$  типа приведенной на рис.3 и определив из размаха колебаний (от пика до пика) максимальную фазовую задержку, по формуле (12) можно рассчитать длину биений встроенного линейного ДЛП в довольно широких пределах – от  $\sim 100$  до  $\sim 0.1$  мм. Следует, однако, отметить, что функция (12) неоднозначна (рис.4) и нужны дополнительные сведения о том, больше или меньше длина биений  $L_b$  половины шага спирали  $L_{tw}/2$ . У микроструктурированных spun-волокон длины биений могут находиться в диапазоне  $L_b < 0.1$  мм [11–13], где указанный метод неточен (см. ниже).

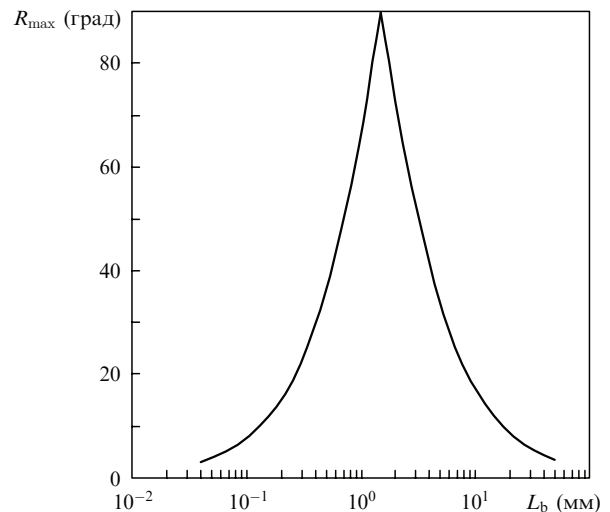


Рис.4. Зависимость максимальной фазовой задержки  $R$  от длины биений  $L_b$  встроенного линейного ДЛП spun-волокна при  $\alpha = 0$ ,  $L_{tw} = 3$  мм,  $z = 1$  м.

Рассмотрим теперь в этих условиях изменение периода колебаний. Для длины образца  $z \sim 1$  м добавка от упругого кручения к величине  $\xi_0$  невелика (см. формулы (4), (5)):  $\phi/z + \phi/(2\mu z) \ll \xi_0$ . Пространственная частота  $\Omega$  определяется выражением

$$\begin{aligned} \Omega &\approx \sqrt{\left(\frac{\Delta\beta}{2}\right)^2 + \xi_0^2 + 2\xi_0\left(\frac{\phi}{z} + \frac{\phi}{2\mu z}\right)} \\ &\approx \Omega_0\left[1 + \frac{\xi_0}{\Omega_0^2}\left(\frac{\phi}{z} + \frac{\phi}{2\mu z}\right)\right], \end{aligned} \quad (13)$$

где  $\Omega_0^2 = (\Delta\beta/2)^2 + \xi_0^2$ . Аргумент под знаком синуса в формуле (11)

$$2\Omega z \approx 2\Omega_0 z + \frac{2\xi_0}{\Omega_0}\left(1 + \frac{1}{2\mu}\right)\phi. \quad (14)$$

Период по углу упругого кручения  $\Delta\varphi$  определяется равенством второго члена в выражении (14) значению 2 $\pi$ :

$$\Delta\varphi = \frac{\Omega_0}{\xi_0[1 + 1/(2\mu)]}\pi. \quad (15)$$

Из последней формулы, зная шаг спирали  $L_{tw}$  и определив из эксперимента период  $\Delta\varphi$ , можно найти длину биений встроенного линейного ДЛП:

$$L_b = \frac{L_{tw}}{2\sqrt{[1 + 1/(2\mu)]^2(\Delta\varphi/\pi)^2 - 1}}. \quad (16)$$

Для микроструктурированного spin-волокна  $\Delta\beta \gg \xi_0$  и пространственная частота  $\Omega_0 \approx \Delta\beta/2$ , поэтому получаем длину биений

$$L_b = \frac{L_{tw}}{2[1 + 1/(2\mu)]}\frac{\pi}{\Delta\varphi}. \quad (17)$$

На рис.5 приведена зависимость фазовой задержки от угла упругого кручения при  $\alpha = 45^\circ$ , длине образца  $z = 1$  м, шаге спиральной структуры  $L_{tw} = 3$  мм и длине биений  $L_b = 0.075$  мм. Видно, что период изменения фазовой задержки  $R$  составляет около девяти оборотов упругого кручения. Зависимость периода  $\Delta\varphi$  от длины биений  $L_b$  встроенного линейного ДЛП приведена на рис.6. При уменьшении длины биений  $L_b$  период  $\Delta\varphi$  быстро возрастает. Так, при  $L_b = 0.01$  мм период  $\Delta\varphi = 139.8\pi$ , или  $\sim 69.9$  оборотов. В эксперименте, однако, как видно из рис.5, можно определять период по наклону зависимости  $R(\varphi)$ .

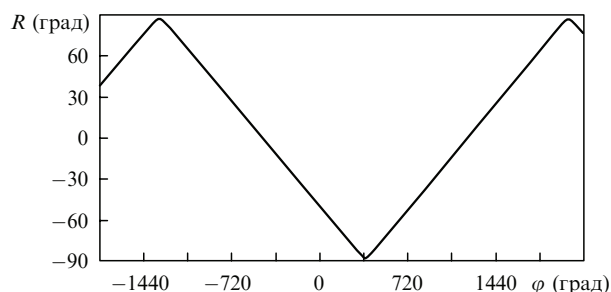


Рис.5. Зависимость фазовой задержки  $R$  от угла упругого кручения  $\varphi$  spin-волокна длиной 1 м со встроенным линейным ДЛП при  $L_b = 0.075$  мм,  $L_{tw} = 3$  мм,  $\alpha = 45^\circ$ .

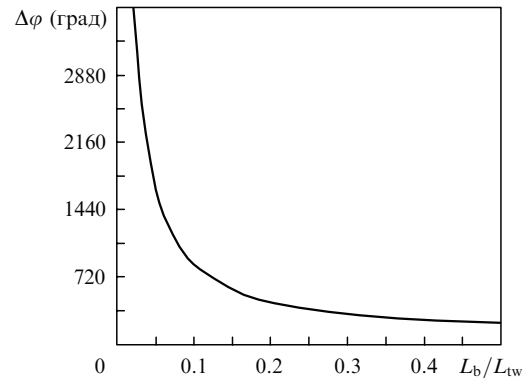


Рис.6. Период упругого кручения  $\Delta\varphi$  spin-волокна в зависимости от отношения длины биений  $L_b$  встроенного линейного ДЛП к шагу спиральной структуры  $L_{tw}$ .

### 3. Эксперимент

Схема экспериментальной установки приведена на рис.7. В качестве источника света используется полупроводниковый лазер 1, генерирующий излучение с длиной волны  $\lambda = 1.55$  мкм и питаемый от стабилизатора тока 2. Объектив 3 формирует параллельный пучок света, проходящий через механический прерыватель-модулятор 4 и линейный поляризатор 5. Поворот поляризатора изменяет азимутальный угол  $\alpha$  относительно положения осей линейного ДЛП на входе в ВС. Объектив 6 с юстировочным столиком 7 фокусирует излучение на входной торец spin-волокна 8, закрепленного на площадке 9 натяжного устройства с помощью оптического клея 10. Натяжение передается нитью, перекинутой через блок 11, а его величина регулируется грузом 12 ( $\sim 0.4$  Н). Вращение ВС вокруг оси осуществляется ротором 13, на площадке которого закрепляется оптическим клеем 10 второй конец волокна. Излучение, поступающее с выхода ВС, проходит через анализатор 14 и регистрируется фотодиодом 15. Промодулированный фототок поступает на синхронный усилитель 16, сигнал с которого регистрируется цифровым вольтметром 17.

Фазовая задержка  $R$  определяется по известной формуле

$$\cos R = \frac{I_{\max} - I_{\min}}{I_{\max} + I_{\min}}, \quad (18)$$

где  $I_{\max}$  и  $I_{\min}$  – интенсивности излучения, полученные при вращении анализатора 14 и характеризующие эллип-

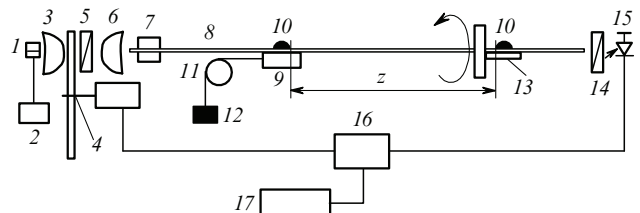


Рис.7. Схема установки для измерения фазовой задержки:  
1 – источник светового излучения (полупроводниковый лазер); 2 – блок питания источника света; 3 – объектив, формирующий параллельный пучок света; 4 – механический модулятор; 5 – поляризатор; 6 – объектив для ввода излучения в ВС; 7 – юстировочное устройство; 8 – ВС; 9 – площадка натяжного механизма; 10 – оптический клей; 11 – блок; 12 – груз; 13 – площадка вращающего механизма; 14 – анализатор на выходе ВС; 15 – фотоприемник; 16 – синхронный усилитель; 17 – цифровой вольтметр.

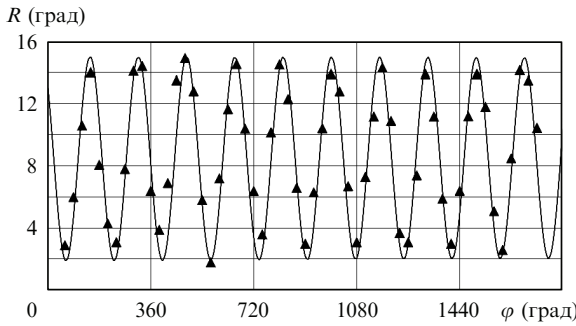


Рис.8. Расчетная зависимость фазовой задержки  $R$  от угла упругого кручения  $\varphi$  (сплошная кривая) для спирн-волокна с длиной биений встроенного линейного ДЛП  $L_b = 15.2$  мм, шагом спирали  $L_{tw} = 3.5$  мм и длиной волокна  $z = 1$  м. Точки – эксперимент.

тичность света на выходе из ВС в отсутствие дихроизма волокна.

Для проверки теории было исследовано спирн-волокно с известным встроенным линейным ДЛП с длиной биений  $L_b = 15 \pm 1$  мм [14] и шагом спиральной структуры  $L_{tw} = 3.5$  мм. Результаты эксперимента приведены на рис.8. Изменение фазовой задержки от максимума до минимума составляет  $13^\circ \pm 0.2^\circ$ , что согласно формуле (12) дает  $L_b = 15.3 \pm 0.3$  мм.

Интересным отличием экспериментальных данных от теоретических (рис.3,а) является некоторая «приподнятость» зависимости  $R(\varphi)$  над осью абсцисс, что может быть связано с влиянием отрезка волокна от юстировочного столика 7 до места крепления волокна на площадке 9 натяжного устройства. Длина этого отрезка (естественно, не подвергавшегося кручению) в данном случае составляла 40 см. Рассчитанная с учетом данного отрезка зависимость показана на рис.8 сплошной кривой. Видно, что теоретические и экспериментальные результаты совпадают для длины биений  $L_b = 15.2$  мм.

Отметим, что за пять оборотов кручения не происходит изменения амплитуды колебаний фазовой задержки. Это означает, что влияние наведенного кручением циркулярного ДЛП пренебрежимо мало, а встроенное циркулярное ДЛП в волокне отсутствует.

На рис.9 приведены результаты эксперимента с микроструктурированным [12, 13] спирн-волокном, у которого длина биений  $L_b$  встроенного ДЛП меньше шага спиральной структуры  $L_{tw}$  и равна  $\sim 1$  мм при  $L_{tw} = 3$  мм. Фазовая задержка  $R$  (размах от пика до пика на рис.9) составляет  $62^\circ$ . Из рис.4 видно, что при определении длины биений по фазовой задержке (формула (12)) получаем

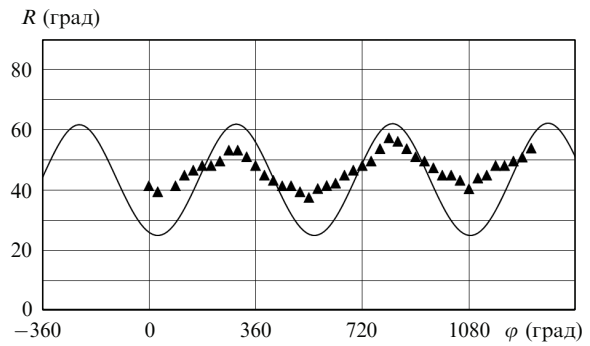


Рис.10. Расчетная зависимость фазовой задержки  $R$  от угла упругого кручения  $\varphi$  (сплошная кривая) для спирн-волокна с длиной биений встроенного линейного ДЛП  $L_b = 0.48$  мм; шагом спирали  $L_{tw} = 3$  мм и длиной волокна  $z = 1$  м. Точки – эксперимент.

два значения:  $L_b \approx 0.9$  и 3 мм. Имеет смысл уточнить этот результат, исходя из измерения периода упругого кручения. Экспериментальное значение периода  $\Delta\varphi$  для этого волокна равно  $286^\circ$ . Расчет по формуле (17) дает  $L_b \approx 1.08$  мм. Таким образом, начиная с длины биений  $L_b \sim 1$  мм, более точное значение  $L_b$  получается из измерений периода упругого кручения.

Предлагаемый метод измерения длины биений встроенного линейного ДЛП в спирн-волокнах был применен для микроструктурированного спирн-волокна с сильным встроенным линейным ДЛП. Результат измерений приведен на рис.10. Экспериментальное значение периода  $\Delta\varphi$  для этого волокна равно  $525^\circ$ . Расчет по формуле (17) дает  $L_b = 0.5$  мм. Следует отметить, что амплитуда колебаний оказалась существенно меньше предсказываемой теорией. Длина измеряемого волокна составляла  $\sim 1.5$  м, и, возможно, здесь проявились деполяризующие свойства спирн-волокна [15]. Действительно, для измерений использовался инжекционный лазер с шириной спектра излучения  $\sim 0.1$  нм, что, по оценкам работы [15], дает при  $L_b = 0.5$  мм длину когерентности  $\sim 3.7$  м.

Возможно, деполяризация сказала и на результатах для предыдущего образца: оценка длины  $L_b$  по амплитуде колебаний фазовой задержки ( $L_b \approx 0.9$  мм) дает заниженное значение по сравнению с оценкой по периоду упругого кручения ( $L_b \approx 1.08$  мм), что можно объяснить частичной деполяризацией.

#### 4. Выводы

Фазовая задержка одной из ортогональных мод с линейной поляризацией относительно другой моды в спирн-волокнах, подвергнутых упругому кручению вокруг оси волокна, подчиняется теории спиральной структуры осей встроенного линейного ДЛП, изложенной в работах [4–7]. Встроенное в волокно циркулярное ДЛП согласно этой теории отсутствует. Слабое циркулярное ДЛП появляется только в результате упругого кручения волокна вокруг его оси. Это подтверждается экспериментальными данными.

Длину биений встроенного линейного ДЛП в спирн-волокне можно экспериментально определять как по амплитуде колебаний фазовой задержки в зависимости от угла упругого кручения волокна вокруг его оси, так и по периоду этих колебаний.

Недостатки метода определения по амплитуде колебаний, заключаются в следующем:

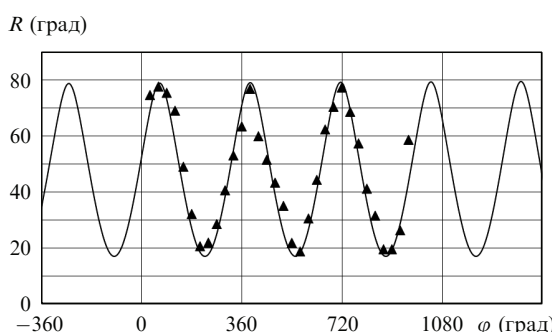


Рис.9. Расчетная зависимость фазовой задержки  $R$  от угла упругого кручения  $\varphi$  (сплошная кривая) для спирн-волокна с длиной биений встроенного линейного ДЛП  $L_b = 0.9$  мм; шагом спирали  $L_{tw} = 3$  мм и длиной волокна  $z = 1$  м. Точки – эксперимент.

1) при длинах биений  $L_b$ , малых по сравнению с шагом спиральной структуры  $L_{tw}$ , возникает неоднозначность в определении  $L_b$  (см. рис.4);

2) при малых длинах биений  $L_b$  длина волокна, необходимая для эксперимента, становится соизмеримой с длиной когерентности источника излучения, что приводит к погрешности в определении  $L_b$  (из-за деполяризации уменьшается амплитуда колебаний фазовой задержки).

Недостаток метода определения  $L_b$  по периоду колебаний фазовой задержки заключается в том, что при больших длинах биений ( $L_b > 10$  мм) период колебаний слабо зависит от  $L_b$ , и поэтому данный метод проигрывает в точности методу определения  $L_b$  по амплитуде.

Комбинируя оба метода можно определять длины биений линейного встроенного в спун-волокно ДЛП в очень широком диапазоне: от  $\sim 0.01$  до  $\sim 100$  мм.

1. Laming R.I., Payne D.N. *J. Lightwave Technol.*, **7**, 2084 (1989).
2. Blake J., Tantaswadi P., de Carvalho A. *IEEE Trans. Power Delivery*, **11**, 116 (1996).
3. Short S.X., Tselikov A.A., de Arruda J.U., Blake J.N. *J. Lightwave Technol.*, **16**, 1212 (1998).
4. Губин В.П., Исаев В.А., Моршнев С.К., Сazonov А.И., Старостин Н.И., Чаморовский Ю.К., Усов А.И. *Квантовая электроника*, **36**, 287 (2006).

5. Моршнев С.К., Губин В.П., Исаев В.А., Старостин Н.И., Чаморовский Ю.К. *Фотон-экспресс*, **6**, 64 (2007).
6. Morshnev S.K., Gubin V.P., Isaev V.A., Starostin N.I., Sazonov A.I., Chamorovsky Yu.K., Korotkov N.M. *Optical Memory and Neural Networks (Information Optics)*, **17**, 258 (2008).
7. Моршнев С.К., Губин В.П., Воробьев И.Л., Старостин Н.И., Сazonov А.И., Чаморовский Ю.К., Коротков Н.М. *Квантовая электроника*, **39**, 287 (2009).
8. Rashleigh S.C. *J. Lightwave Technol.*, **1**, 312 (1983).
9. Аззам Р., Башара Н. *Эллипсометрия и поляризованный свет* (М.: Мир, 1981).
10. Аксенов В.А., Моршнев С.К., Иванов Г.А., Чаморовский Ю.К. *Сб. трудов 13-й Междунар. научн. конф. ММТТ-2000* (С.-Петербург, 2000, т. 7, с. 53).
11. Michie A., Canning J., Bassett J., Haywood J., Digweed K., Aslung M., Ashton B., Stevenson M., Digweed J., Lau A., Scandurra D. *Opt. Express*, **15**, 1811 (2007).
12. Chamorovsky Yu.K., Starostin N.I., Ryabko M.V., Sazonov A.I., Morshnev S.K., Gubin V.P., Vorob'ev I.L., Nikitov S.A. *Opt. Comm.*, **282**, 4618 (2009).
13. Чаморовский Ю.К., Старостин Н.И., Моршнев С.К., Губин В.П., Рябко М.В., Сazonov А.И., Воробьев И.Л. *Квантовая электроника*, **39**, 1074 (2009).
14. Morshnev S.K., Ryabko M.V., Ghamorovsky Yu.K. *Proc. SPIE Int. Soc. Opt. Eng.*, **6594**, 6594OR (2007).
15. Губин В.П., Моршнев С.К., Старостин Н.И., Сazonov А.И., Чаморовский Ю.К., Исаев В.А. *Радиотехника и электроника*, **53**, 971 (2008).